

# فشرده سازی تصویر با کمک حذف و کدگذاری هوشمندانه اطلاعات تصویر و بازسازی آن با استفاده از الگوریتم های ترمیم تصویر

علی جمشیدی\*، مهران یزدی و مریم السادات منافی  
دانشکده مهندسی برق و کامپیوتر، دانشگاه شیراز، شیراز، ایران



## چکیده

روش های فشرده سازی با اتلاف، به دلیل ایجاد فشرده سازی بیشتر، کاربرد گستردۀ تری دارند. اگرچه روش های زیادی تا به حال برای فشرده سازی تصاویر پیشنهاد شده، اما به استفاده از روش های هوشمندانه حذف اطلاعات، کمتر توجه شده است. ترمیم، مجموعه های از روش هایی است که اصلاحاتی را بر روی تصاویر انجام می دهد؛ با این هدف که بینندۀ تفاوتی بین تصویر اصلاح شده و تصویر اصلی احساس نکند. در این مقاله، پس از بررسی و معرفی بعضی روش های ترمیم تصویر و روش های فشرده سازی تصویر با کمک ترمیم، روش جدیدی پیشنهاد می شود که علاوه بر این که باعث فشرده شدن قابل توجه تصویر در زمان ار سال می شود، نتیجه کیفی مناسبی نیز در گیرنده خواهد داشت. در روش پیشنهادی، تصویر به نواحی ساختاری و بافتی تقسیم می شود و برای هر ناحیه بلوک های قابل حذفی که امکان بازسازی مناسبی در گیرنده با استفاده از روش های ترمیم دارند، شناسایی و حذف می شوند و اطلاعات کمکی لازم جهت ترمیم بهتر از آنها استخراج می شود. این بلوک ها به همراه بلوک های غیرقابل حذف تصویر پس از کشیدن ارسال می شوند و در گیرنده پس از کدگشایی، بلوک های از دست رفته بازسازی و ترمیم می شوند تا در نهایت تصویر اولیه در گیرنده قابل استفاده باشد. ویژگی های روش پیشنهادی نخست متغیر بودن اندازه بلوک های حذفی است که باعث فشرده شدن بیشتر می شود و ثانیاً ارائه روش جدیدی جهت بازسازی بلوک های شامل لبه در گیرنده است که کیفیت بلوک های ترمیم شده این نواحی را افزایش می دهد.

واژگان کلیدی: ترمیم تصویر، فشرده سازی تصاویر، حذف هوشمندانه اطلاعات، کدگذرن

## Image Compression Based on Intelligent Information Removing and Inpainting Reconstruction Algorithms

Ali Jamshidi\*, Mehran Yazdi & Maryam-ol-sadat Manafi

School of Electrical and Computer Engineering, University of Shiraz, Shiraz, Iran

### Abstract

Compression can be done by lossy or lossless methods. The lossy methods have been used more widely than the lossless compression. Although, many methods for image compression have been proposed yet, the methods using intelligent skipping proper to the visual models has not been considered in the literature. Image inpainting refers to the application of sophisticated algorithms to replace lost or corrupted parts of the data so that visual difference cannot be inferred from the reconstructed image. In this paper, first we review some of the image inpainting algorithms and some of the image compression techniques using the inpainting algorithms, we propose a new inpainting based image compression algorithm that can improve the compression rate considerably. We present image compression system based on the proposed parameter-assistant image inpainting method to more deeply exploit visual redundancy inherent in color images. We have shown that with carefully selected dropped regions and appropriately extracted parameters from them, dropped regions can be satisfactorily restored using the proposed PAI algorithm. Accordingly, our compression scheme has a higher coding performance compared with traditional methods in terms of the perceptual quality. To best represent the target region for inpainting, an effective region classifier is required. A generic solution is to study the distribution of each image region and find the best match among the

\* Corresponding author

نویسنده عهده دار مکاتبات

candidates in the predefined model class. For simplicity, in our scheme, an entire image divided into three categories: gradated, structural, and non-featured, at non-overlapping block level of size  $S \times S$ . The classification is performed based on edge content and color variance in each block. Simulation results show that our proposed method has reasonable visual quality in comparison with the other proposed image compression algorithms.

**Keywords:** Image Inpainting, Image Compression, Intelligent Information Removing, Coding

خاصی حذف و بازسازی شده و بقیه بخش‌های تصویر نیز با معیارهای مخصوص به خود حذف و ترمیم می‌شوند [13]-[11]. برای اینکه کیفیت تصویر بازسازی شده در گیرنده قابل قبول و قابل مقایسه با روش‌هایی همچون JPEG باشد، اطلاعاتی از بلوک‌هایی که قرار است حذف شوند، از آنها استخراج و بهمراه بقیه اطلاعات ارسال می‌کنند. حجم این اطلاعات در برابر حجم بلوک اصلی بسیار ناچیز است و اگر از روش‌های کدگذاری منبع، جهت فشرده کردن آنها استفاده شود، تأثیر چندانی بر فشردگی نخواهد داشت. این در حالی است که کیفیت تصویر بازسازی شده را ارتقا می‌دهند. اینکه چه بلوک‌هایی از تصویر باید حذف شوند، چه نواحی‌ای از آنها به عنوان اطلاعات کمکی ارسال شود و همچنین در گیرنده چه روش ترمیمی باید مورد استفاده قرار گیرد تا نتایج بهتری در گیرنده داشته باشیم، مسائل چالش برانگیزی هستند که موضوع مقاله‌های بسیاری تاکنون بوده‌اند.

در سال‌های اخیر، پرکاربردترین معیار استفاده شده برای محاسبه عملی کیفیت تصاویر نسبت سیگنال به نویه (PSNR<sup>2</sup>) و میانگین مربع خطأ (MSE<sup>3</sup>) بوده‌اند که البته چون نظر مشاهده‌گر در تخمین کیفیت در آنها مطرح نبوده و تنها براساس مقایسه با تصویر مرجع اولیه بنا شده اند، مورد انتقاد قرار گرفته‌اند. در چند دهه اخیر، تلاش‌های بسیاری شده است که روش‌های جدیدی جهت سنجش کیفیت ادراکی تصویر براساس دستگاه بینایی انسان ارائه شود. در این روش‌ها، به این نکته توجه شده است که در کاربردهای عملی ما به تصویر اولیه دسترسی نداریم. در این مقاله، در کنار PSNR، از معیاری که نکات بالا را مورد توجه قرار داده است نیز استفاده می‌شود [14].

در سال ۲۰۰۰ الگوریتم‌هایی جهت ترمیم خودکار و دیجیتال تصاویر ارائه شده است [2]. در روش ارائه شده، پس از اینکه کاربر نواحی از تصویر را که باید ترمیم شوند، انتخاب کرد، الگوریتم به صورت خودکار با استفاده از اطلاعات نواحی

<sup>2</sup> Peak Signal to Noise Ratio

<sup>3</sup> Mean Square Error

## ۱- مقدمه

در روش‌های متداول فشرده‌سازی تصاویر، همه بخش‌های تصویر که به طور معمول به صورت بلوک‌های مجزا در نظر گرفته می‌شوند، به صورت مشابه فشرده می‌شوند. به عنوان مثال قسمت عمده روش فشرده‌سازی JPEG اعمال تبدیل DCT<sup>1</sup> بر روی تک‌تک بلوک‌های  $8 \times 8$  تصویر و ارسال ضرایب مؤثرتر این تبدیل و حذف ضرایب کم اهمیت است. فرآیند بالا به طور کاملاً مشابه در مورد تک‌تک بلوک‌ها اعمال می‌شود؛ همچنین، در سامانه‌های بازیابی تصویر بر اساس محتوا، ویژگی‌های دیداری تصاویر پایگاه استخراج شده و پایگاه ویژگی‌های دیداری برای یافتن نزدیک‌ترین تصاویر به تصویر پرس و جو، جستجو می‌شود [1].

با معرفی و پیشرفت روش‌هایی مانند ترمیم [2]، که امکان بازسازی نواحی مختلف تصویر را به ما می‌دهند، این ایده مطرح شد که در فرستنده، بخش‌هایی از تصویر که حاوی اطلاعات زیادی نیستند و امکان بازسازی را در گیرنده دارند، حذف و در گیرنده با استفاده از روش ترمیم مناسبی بازسازی شوند [3]. این روش ابتدا جهت بازیابی خودکار قسمت‌هایی از تصویر که هر دلیلی از بین رفته بودند، مطرح شد [6]-[4]. در حالی که تا چند سال بعد کاربردهای زیاد و متنوعی برای آن مطرح و پیشنهاد شد و اهمیت توجه به این روش را افزایش داد. فشرده‌سازی تصاویر نیز از کاربردهای مطرح شده برای این روش است [11]-[7]. رفته‌رفته این ایده مورد توجه بیشتری قرار گرفت و نتایج قابل توجهی نیز ارائه شده است [11]-[7]. با توجه به این که همه قسمت‌های تصویر از نظر فشرده‌سازی و بازسازی درجه پیچیدگی یکسانی ندارند، برای به دست آوردن نتیجه بهتر، به طور معمول تصویر را به بخش‌هایی تقسیم می‌کنند که نقاط هر بخش ویژگی‌های مشترکی دارند و بازسازی آنها در گیرنده می‌تواند به صورت مشابه با هم صورت گیرد. به عنوان مثال، بخش‌هایی از تصویر که جزئیات بیشتر و تغییرات سریع‌تری دارند و شامل لبه هستند، با معیارهای

<sup>1</sup> Discrete Cosine Transform

اینکه باعث فشردگی قابل توجه تصویر در زمان ارسال می‌شود، نتیجه کیفی مناسبی نیز در گیرنده خواهد داشت. تفاوت روش ارائه شده در این مقاله با دیگر روش‌ها از جمله مرجع [10] و [25] در این است که: ۱- در روش پیشنهاد شده و در قسمت تخمین بلوک‌های حذف شده، ابعاد بلوک‌ها، متغیر در نظر گرفته شده است. ۲- ارائه روش جدیدی جهت بازسازی بلوک‌های شامل لبه در گیرنده که کیفیت بلوک‌های ترمیم‌شده این نواحی را افزایش می‌دهد؛ در حقیقت فرآیند تعیین بلوک‌های لبه‌ای قابل حذف نیز متفاوت است<sup>۳</sup> تعیین بلوک‌های بدون لبه قابل حذف تصویر.

بخش‌های باقیمانده از مقاله به شرح زیر ساماندهی شده است. در بخش دوم ابتدا درخصوص روش‌های فشرده سازی تصویر مبتنی بر ترمیم بحث می‌کنیم؛ سپس، در بخش سوم، روش پیشنهادی را مطرح می‌کنیم. در بخش چهارم شبیه سازی‌ها و تحلیل نتایج آورده شده و درنهایت، بخش پنجم به نتیجه‌گیری اختصاص یافته است.

## ۲- فشرده‌سازی تصویر مبتنی بر الگوریتم‌های ترمیم تصویر

با توجه به وجود روش‌های ذکر شده در قسمت قبل و نیاز به فشرده‌سازی تصویر تا حد ممکن، بهدلیل محدودیت‌های پنهانی باند، این ایده ایجاد شد که بخش قابل توجهی از تصاویری که می‌خواهند ارسال شوند، حذف شده و در گیرنده به کمک ترمیم تصویر بازسازی شود [3]. از آن جا که روش‌های ترمیم تصویر قادرند لبه‌ها و بافت‌های ازین‌رفلت را بازسازی کنند، ما می‌توانیم به دلخواه بعضی از بخش‌های تصویر، شامل ساختاری یا بافت را حذف کنیم. پس از حذف عمده این قسمت‌ها، می‌توان اطلاعات باقی‌مانده را به همراه ویژگی‌هایی از قسمت‌های به عمد حذف شده، کد و ارسال کرد. درنهایت در گیرنده پس از کدگشایی اطلاعات با کمک الگوریتم‌های مناسب ترمیم، ساختارها و بافت‌های ازدست‌رفته را تخمین زده و بازسازی می‌کنیم. اگر اطلاعات به صورت بلوکی ارسال می‌شوند، حذف می‌تواند به صورت بلوکی صورت گیرد و در گیرنده بلوک‌های حذف شده بازسازی شوند. با این کار ضریب فشرده سازی تا حد زیادی می‌تواند بهبود یابد و درنتیجه نرخ انتقال اطلاعات به میزان مناسبی افزایش می‌یابد.

روش فشرده سازی با کمک ترمیم براساس لبه در [9]

همسايه، اين نواحي را ترميم مي‌كند. به طور دقیق‌تر، در اين الگوريتم، با استفاده از معادلات ديفرانسيل با مشتقات جزئی، اطلاعات نواحي همسايه در راستاي امتدادشان به درون ناحيه ازدست‌رفته کشيده مي‌شوند. معادله، ديفرانسيلي که در گام نخست استفاده شد، لاپلاسین<sup>۱</sup> بود؛ اما رفتاره رفته پژوهش گران دیگر از معادلات درجه بالاتری (تارجه ۳ و ۴) برای بهترشدن نتیجه استفاده کردند [17]-[16]. البته به دليل استفاده از معادلات ديفرانسيل با مشتقات جزئی، اين روش به محاسبات پيچيده‌تری نياز دارد. محدوديت اين روش در اين است که اگر مساحت ناحيه ازدست‌رفته زياد باشد، نتیجه مناسبی نخواهيم داشت و لبه‌ها تار می‌شوند. روش‌هایي نيز مانند روش‌های مراجع [20]-[17]<sup>2</sup> معرفی شدند که در همگی آنها با استفاده از معادلات ديفرانسيل با مشتقات جزئی به ترمیم تصویر پرداخته می‌شود. برای به دست آوردن نتایج بهتر، ایده تلفيق روش‌های موجود مورد توجه قرار گرفت [15]. در اين ایده، تصویر به بخش‌های مجزايی تقسيم شده و برای هر بخش بررسی می‌شود که چه روشي آن بخش را بهتر ترمیم مي‌کند. نتیجه اين بررسی به تعریف مناطق ساختاري<sup>3</sup> و مناطق بافتی<sup>۳</sup> در تصویر منجر شد. نواحي ساختاري، نواحي‌اي هستند که سطح رنگ تصویر (چه در تصویر رنگي و چه در تصویر خاکستری) در آنها تغييرات سريعی دارند، يعني نقاطی شامل لبه، نواحي کم عرض و همسايه‌های آنها؛ اما، تغييرات مؤلفه‌های تصویر در نواحي بافتی، کند و یکنواخت است. با توجه به اين تعریف، نواحي ساختاري به طور معمول نواحي باريک و کم عرض هستند و نواحي بافتی، سطوح وسیع تری از تصویر را به خود اختصاص مي‌دهند.

در مرجع [24]، نويستانگان، يك بررسی اجمالی از روش‌های توأم پنهان‌سازی داده و روش‌های فشرده‌سازی با استفاده از ترمیم تصاویر را ارائه کرده‌اند.

در [25]، با تجزیه تصویر به نواحي بافتی و هندسي و سپس با استفاده از روش‌های ترمیم تصویر مبتنی بر لبه، فشرده‌سازی بخش‌های بافتی و هندسي به صورت جداگانه انجام می‌شود.

در اين مقاله، پس از بررسی و معرفی بعضی روش‌های فشرده‌سازی تصویر با کمک ترمیم، که توسط دیگران به کار گرفته شده است، روش جدیدی پیشنهاد می‌شود که علاوه‌بر

<sup>1</sup> Laplacian

<sup>2</sup> Structural Regions

<sup>3</sup> Texture Regions

بلوک‌های S×S بدون همپوشانی با یکدیگر تقسیم می‌شود و بعد به هر بلوک آن بر حسب ویژگی‌های تصویر یکی از برچسب‌های گرادیانی، ساختاری و غیر خصیصه‌ای<sup>۳</sup> اختصاص می‌یابد. برچسب اختصاص داده شده به هر بلوک براساس لبه‌های موجود در آن و واریانس رنگی آن صورت می‌گیرد. ابتدا فرآیند استخراج لبه‌ها در تصویر صورت می‌گیرد و هر بلوکی که شامل لبه بود برچسب بلوک ساختاری می‌گیرد؛ سپس برای بقیه بلوک‌ها واریانس رنگی بر مبنای مؤلفه‌های رنگی RGB محاسبه می‌شود. بلوک‌هایی که واریانس آنها کمتر از یک مقدار آستانه باشد، برچسب بلوک گرادیانی و بلوک‌های باقی‌مانده برچسب غیرخصوصی‌های می‌گیرند. برای نواحی در تصویر که بلوک‌هایش برچسب گرادیانی دارند، رنگ یا شدت روش‌نایی به‌طور یکنواخت و کند تغییر می‌کند؛ بنابراین، مهم‌ترین ویژگی که باید استخراج شود، الگوی گرادیانی در این نواحی است که با استفاده از گرادیان بلوک‌ها شکل می‌گیرد. برای هر بلوک بردار گرادیانی برای هر یک از مؤلفه‌های RGB مستقلًاً به‌دست می‌آید.

برای بازسازی بلوک‌های گرادیانی، روش PAI یک بلوک گرادیانی حذف‌شده را با استفاده از اطلاعات نقاط معلوم همسایه و با کمک گرادیان آن بلوک که در فرستنده محاسبه و ارسال شده است، ترمیم و بازسازی می‌کند. در این روش، برای یک ناحیه شامل بلوک‌های گرادیانی ابتدا بلوک‌های با بیشترین همسایه معلوم (از بین چهار همسایگی ممکن) بازسازی می‌شوند، تا درنهایت نوبت به بلوک‌های با همسایه‌های کمتر برسد.

برای بلوک‌هایی از تصویر که برچسب ساختاری دارند و درون آنها لبه وجود دارد، محل نقاطی که لبه هارا می‌سازند و گرادیان لبه‌ای یعنی گرادیان در طول لبه پارامترهای کلیدی هستند. محل لبه‌ها در طول فرایند طبقه‌بندی بلوک‌های تصویر، به دست آمده است. بازسازی بخش‌های ساختاری حذف شده از تصویر در گیرنده به همان روش مرجع [9] صورت می‌گیرد. بلوک‌های الگو شامل بلوک‌های پیچیده و بلوک‌های الگوی ساختاری و گرادیانی، JPEG که باید خود شان به‌طور کامل ار سال شوند، به روش فشرده می‌شوند. پارامترهای کمکی شامل محل بلوک‌هایی که حذف شده‌اند، نوع بلوک حذفی (ساختاری یا گرادیانی) و محل لبه‌ها در بلوک‌های ساختاری که باید حذف شوند

<sup>3</sup> Non-Feature

ارائه شده است. در این روش، پس از استخراج لبه‌ها، انتخاب بلوک‌های الگو<sup>۱</sup> – یعنی بلوک‌هایی که از نوع ساختاری یا بافتی غیرقابل حذف هستند – براساس این لبه‌ها صورت می‌گیرد. برای این منظور، ابتدا تصویر به بلوک‌های ۸×۸ که با هم همپوشانی ندارند، تقسیم می‌شود و به هر بلوک براساس فاصله‌اش تا لبه‌ها برچسب ساختار یا بافتی اختصاص داده می‌شود. به صورت جزئی‌تر، اگر بیش از یک‌چهارم نقاط یک بلوک فاصله کمی (۵ نقطه) تا لبه‌ها داشته باشند، بلوک مورد نظر برچسب ساختاری و در غیر این صورت برچسب بافتی می‌خورد.

در تصویر شکل (۱) لبه‌ها قبلًاً مشخص و با خطوط خاکستری تیره مشخص شده‌اند. بلوک‌های خاکستری روشن ساختار و بلوک‌های سفید و سیاه بافت هستند. بلوک‌هایی که در حاشیه ناحیه بافتی (شامل نواحی سفید و سیاه) قرار دارند، یعنی بلوک‌های سفید بافت‌های ضروری هستند که در همسایگی عمودی یا افقی بلوک‌های ساختاری قرار دارند. این بلوک‌ها چون جزء ناحیه‌های گذار هستند، قابل حذف نمی‌باشند. از بین بلوک‌های سیاه تعدادی به عنوان بافت اضافه (بمنظور ارتقای کیفیت دیداری در بازسازی) و به عنوان نماینده‌ای از تغییرات واریانس در نواحی بافتی – که تغییرات در آنها کند است – نگه داشته می‌شوند و بقیه حذف می‌شوند.



(شکل-۱): بلوک‌بندی یک تصویر نمونه جهت توضیح بلوک‌های غیر قابل حذف ساختاری و بافتی [9]

(Figure-1): An exemplar block selection to describe necessary blocks for textural and structural region [9]

در مرجع [10] فشرده سازی تصویر با کمک ترمیم پارامتری (PAI<sup>2</sup>) ارائه شده است. در این روش، ابتدا تصویر به

<sup>1</sup> Exemplar Blocks

<sup>2</sup> Parameter-Assistant Inpainting

- ۱- اطلاعات دریافت شده کدگشایی می‌شوند. به این صورت که کدگشایی یک بلوک‌های حذف‌نشده تصویر را که تنها کدگذاری JPEG روی آنها اعمال شده کدگشایی کرده و کدگشایی ۲ اطلاعات کمکی بلوک‌های حذف‌شده تصویر را کدگشایی می‌کند.
- ۲- پس از کدگشایی اطلاعات کمکی بلوک‌های حذف شده، این بلوک‌ها ترمیم و بازسازی می‌شوند.
- ۳- در مرحله آخر این بلوک‌های باز سازی شده با بلوک‌های اصلی تصویر ترکیب می‌شوند و در کنار هم قرار می‌گیرند تا تصویر نهایی قابل استفاده توسط کاربر به دست آید. در زیربخش‌های بعدی در مورد هر یک از قسمت‌های بالا به تفصیل توضیح داده می‌شود و در بخش بعد نتایج ارائه خواهد شد.

### ۱-۳- فرستنده

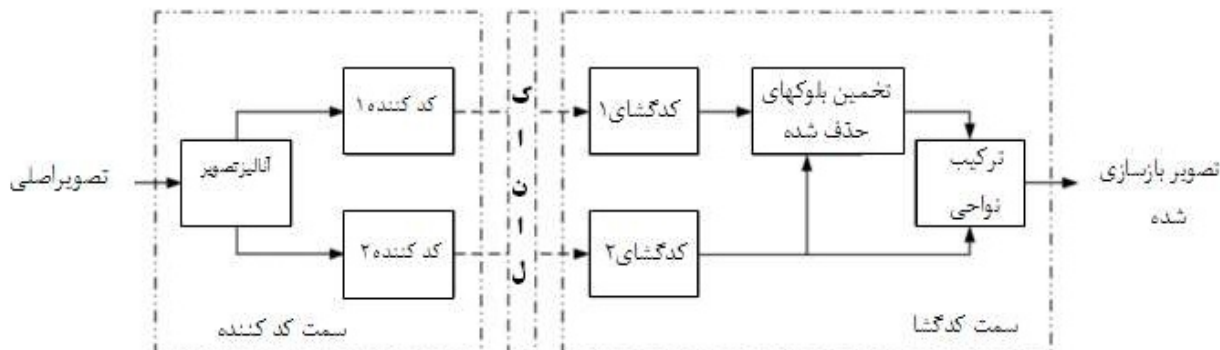
برخلاف روش‌هایی که در مقاله‌های قبلی توضیح داده شد، در این روش ابعاد بلوک‌هایی که حذف می‌شوند، متغیر هستند و موقع فشرده‌سازی یک تصویر بلوک‌های حذفی می‌توانند  $8 \times 8$ ,  $16 \times 16$  یا  $32 \times 32$  باشند. حال به توضیح روش پیشنهادی می‌پردازیم. در مرحله نخست با استفاده از روش 'canny' محل لبه‌های تصویر به دست می‌آیند. بعد از معلوم شدن لبه‌ها ابتدا تمام بلوک‌های لبه‌ای  $8 \times 8$ ,  $16 \times 16$  و  $32 \times 32$  که باید حذف شوند، به صورت زیر مشخص می‌شوند و در مرحله بعد به تعیین بلوک‌های گردایانی قابل حذف می‌پردازیم.

بصورت نقشه بیتی<sup>۱</sup> به روش<sup>۲</sup> JBIG فشرده می‌شوند. گرادیان بلوک‌ها نیز با روشی شبیه DPCM<sup>۳</sup> فشرده می‌شوند.

### ۳- روش پیشنهادی

در شکل (۲) نمودار جعبه‌ای کلی روش پیشنهادی رسم شده است که در ادامه به بررسی بیشتر آن می‌پردازیم. در بخش تحلیل تصویر مشخص می‌کنیم، کدام نواحی تصویر باید حذف شوند و کدام نواحی غیرقابل حذف هستند. پس از مشخص شدن بلوک‌هایی که باید حذف شوند، اطلاعاتی که باید از طریق فرستنده ار سال شوند به چند گروه تقسیم می‌شوند:

- ۱- قسمت‌هایی از تصویر که حذف نمی‌شوند و خودشان باید ارسال شوند. این اطلاعات وارد کدکننده ۱ می‌شوند.
- ۲- اطلاعات کمکی بلوک‌های حذف شده که وارد کدکننده ۲ می‌شوند و شامل موارد زیر هستند:
  - بلوک‌هایی از تصویر که شامل لبه بوده و شرایط لازم برای حذف را داشته و درنتیجه تنها محل لبه‌ها در آنها باید ارسال شود.
  - بلوک‌هایی از تصویر که بدون لبه هستند و شرایط لازم را برای حذف دارند و گرادیان آنها باید ارسال شود.
  - محل بلوک‌هایی از تصویر که حذف شده‌اند.
 پس از ارسال این اطلاعات کد شده از طریق کانال به گیرنده می‌رسیم که در آن طی مراحل زیر تصویر دریافت شده بازسازی می‌شود:



(شکل-۲): نمودار جعبه‌ای روش پیشنهادی  
(Figure-2): Our Proposed Block Diagram

<sup>1</sup> Bitmap

<sup>2</sup> Joint Bi-level Image Experts Group

<sup>3</sup> Differential Pulse-Code Modulation

برای تعیین بلوک‌های لبه‌ای قابل حذف، تصویر در سه مرحله بررسی می‌شود: در مرحله نخست بلوک‌های  $32 \times 32$  و در مرحله دوم بلوک‌های  $16 \times 16$  و در مرحله سوم بلوک‌های  $8 \times 8$  قابل حذف مشخص می‌شوند. حال به توضیح مرحله نخست می‌پردازیم. در این مرحله، تصویر به بلوک‌های  $32 \times 32$  که با هم همپوشانی ندارند، تقسیم می‌شود و برای هر بلوک در صورتی که شامل لبه باشد، صلاحیت آن برای حذف شدن مورد بررسی قرار می‌گیرد؛ یعنی خصوصیاتی از آن بررسی می‌شود که نشان می‌دهند این بلوک در صورت حذف شدن پس از بازسازی کیفیت مناسبی خواهد داشت یا خیر؟ در گام نخست تمام دسته لبه‌های موجود در این بلوک برچسب زده می‌شوند و اگر تنها یک لبه در این بلوک موجود باشد، بقیه شروط برای حذف این لبه بررسی خواهد شد؛ در غیر این صورت به سراغ پردازش بلوک  $32 \times 32$  بعد می‌رویم و شرایط حذف شدن زیربلوک‌های این بلوک را در مراحل بعد بررسی می‌کنیم.

گام دوم، بررسی این نکته است که تکلیف موجود در این بلوک، فقط و فقط دو بار دو حاشیه متفاوت را از بین چهار حاشیه موجود در این بلوک قطع کرده باشد. به عنوان مثال در شکل (۳) بلوک سمت چپ به این دلیل که تکلیف موجود در بلوک تنها یکبار یکی از حاشیه‌های بلوک را قطع می‌کند، و بلوک سمت راست به این دلیل که لبه در هر دوبار تنها یک حاشیه بلوک را قطع کرده، شرایط حذف شدن را ندارند. دلیل قراردادن این شروط به روش ترمیم تصویر در گیرنده باز می‌گردد که براساس الگو است و الگوی این نوع لبه‌ها برای بقیه نقاط بلوک کافی نیستند. به عنوان مثال شرایط هنوز برای حذف بلوک کافی نیستند. به عنوان دو ویژگی بالا برای بلوک شکل (۴) صادق است؛ اما همان طور که می‌بینید، این لبه بسیار پیچیده است و مسلماً در صورت حذف آن، ترمیم در گیرنده نتیجه قابل قبولی نخواهد داشت.

برای جلوگیری از حذف چنین بلوک‌هایی در فرستنده، تمام زیربلوک‌های هر بلوک را نیز بررسی می‌کنیم. در صورتی که هر یک از این زیربلوک‌ها یکی از دو حالت زیر را داشته باشند، بلوک اصلی قابل حذف است:

الف: زیربلوک موجود دو ویژگی بالا را داشته باشد؛ یعنی تنها شامل یک لبه و این تکلیف فقط و فقط دوبار دو حاشیه متفاوت از بین چهار حاشیه موجود در بلوک را قطع کرده باشد.

ب: این زیربلوک قادر به باشد.

**۱-۳-۱-۳- چگونگی به دست آوردن لبه‌ها در تصویر**  
 هر یک از مؤلفه‌های RGB لبه‌های مخصوص خودشان را دارند که می‌توانند مشترک یا متمایز باشند؛ اما اگر بخواهیم این لبه‌های متمایز را در نظر بگیریم، برای هر یک از مؤلفه‌ها، بلوک‌های حذفی را باید جدا گانه پیدا کنیم؛ در حالی که اگر تنها یک دسته لبه را طوری به دست آوریم که تجمعی لبه‌های هر سه مؤلفه باشد، برای هر سه مؤلفه بلوک‌ها یکسان حذف می‌شوند و به جای ار سال محل لبه‌ها در بلوک‌های حذفی و نقشه محل بلوک‌های حذفی برای هر یک از مؤلفه‌ها بهطور جداگانه، این اطلاعات به خاطر مشترک‌بودن در هر سه مؤلفه، تنها باید یک بار ار سال شوند و درنتیجه اطلاعات ار سالی به میزان زیادی کاهش می‌یابند. اگر برای پیداکردن لبه‌ها از مقیاس خاکستری تصویر اصلی استفاده کنیم، جامعیتی که در بالا به آن اشاره شد، حفظ نمی‌شود و این امکان وجود دارد که در جایی از تصویر تنها یکی از مؤلفه‌ها لبه‌ای داشته باشد؛ درحالی که دو مؤلفه دیگر قادر به باشند و این لبه در مقیاس خاکستری 'canny' آنقدر ضعیف باشد که در فرآیند لبه‌یابی پیدا نشود. برای حل این مشکل ضرایب مؤلفه‌ها در فرآیند محاسبه مقیاس خاکستری استاندارد آنقدر با سعی و خطا تغییر داده شدند تا نتیجه قابل قبولی به دست آمد. برای این منظور، ابتدا چندین بلوک دارای لبه مشخص به عنوان داده‌های آموزشی انتخاب شدند، به طوری که مؤلفه‌های R، G و B آنها دارای لبه‌های یکسانی باشند؛ سپس مقادیر اولیه ضرایب تبدیل مشابه نرم‌افزار متلب تعیین شدند و بعد در هر مرحله بهینه سازی لبه‌های به دست آمده از الگوریتم لبه‌یاب تصویر خاکستری با لبه‌های مشخص تعیین شده و مشخص بلوک‌ها مقایسه شده و در صورت وجود خطا ابتدا ضریب را کاهش یا افزایش می‌دهیم تا اینکه خطای کوچکی حاصل شود. رابطه ضرایب در فرم مقیاس خاکستری تعریف شده در متلب به صورت زیر است:

$$0.2989 \times R + 0.5870 \times G + 0.1140 \times B$$

که پس از بهینه‌سازی ضرایب زیر به دست می‌آیند :

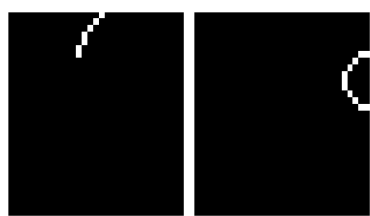
$$0.2 \times R + 0.6 \times G + 0.2 \times B$$

با استفاده از این ضرایب در به دست آوردن فرم مقیاس خاکستری تصویر جهت پیداکردن لبه‌ها به نتیجه مناسب و قابل قبولی برای هر سه مؤلفه می‌رسیم.

**۳-۱-۲- تعیین بلوک‌های لبه‌ای قابل حذف تصویر**

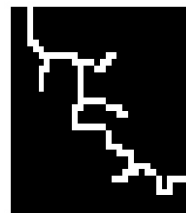


بعد از اینکه تمامی بلوک‌های  $32 \times 32$  بررسی شدند، نوبت به مرحله دوم بررسی بلوک‌های لبه‌ای قابل حذف می‌رسد. در این مرحله، تصویر را به بلوک‌های  $16 \times 16$  تقسیم می‌کنیم و برای بلوک‌های شامل لبه‌ای که نخست این که هیچ یک از نقاط آنها در مرحله قبل برچسب حذفی خورده‌اند و دوم این که بخشی از آنها جزء حاشیه بلوک‌های حذف شده در مرحله قبل نیست، حذفی بودن یا نبودن آن بررسی می‌شود. نحوه بررسی مشابه بررسی بلوک‌های  $32 \times 32$  است. به همین ترتیب بلوک‌های  $8 \times 8$  را بررسی می‌کنیم.



(شکل-۳): بلوک‌های غیر قابل حذف در یک تصویر نمونه

(Figure-3): An example of necessary blocks

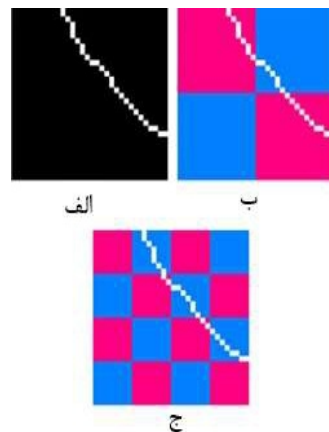


(شکل-۴): بلوک‌های قابل حذف در یک تصویر نمونه [۹]

(Figure-4): An example of removed blocks [9]

برای یک بلوک تقسیم بندی به زیربلوک‌ها به صورتی که در شکل (۵) دیده می‌شود، تعریف می‌شوند. در نهایت، بلوک اولیه‌ای که هر یک از زیربلوک‌ها بیش از دو حالت گفته شده در بالا را داشته باشد، به عنوان بلوک حذفی در نظر گرفته می‌شود و محل لبه‌ها در آن به عنوان اطلاعات کمکی نگه داشته می‌شوند.

با توجه به اینکه برای بازسازی بلوک‌های شامل لبه‌ای که حذف شده‌اند به تمام نقاط چهار حاشیه معلوم آنها نیاز داریم، اگر بلوکی شرایط حذف شدن را داشت؛ تمام زیربلوک‌های آن برچسب غیر حذفی می‌خورند تا مراحل بعدی پردازش که بلوک‌های کوچک‌تر بررسی می‌شوند با آنها کاری نداشته باشیم. البته در مورد بلوک‌های گرادیانی که قرار است حذف شوند، این کار لازم نیست.



(شکل-۵): مراحل تقسیم‌بندی یک بلوک به زیربلوک‌های

کوچک‌تر، الف: یک بلوک بزرگ، ب: تقسیم به ۴ زیربلوک

ج: تقسیم به ۱۶ زیربلوک

(Figure-5): The procedure of dividing a large block to small sub blocks, a) a large block, b) dividing to 4 sub blocks, c) dividing to 16 sub blocks

**۳-۱-۳- تعیین بلوک‌های بدون لبه قابل حذف تصویر**  
بعد از اینکه تمام بلوک‌های لبه‌ای قابل حذف  $32 \times 32$ ،  $16 \times 16$  و  $8 \times 8$  تصویر مشخص شدند، نوبت به مشخص کردن بلوک‌های بدون لبه قابل حذف تصویر می‌رسد. در این جا هم در مرحله نخست بلوک‌های  $32 \times 32$ ، در مرحله دوم بلوک‌های  $16 \times 16$  و در نهایت بلوک‌های  $8 \times 8$  قابل حذف مشخص می‌شوند. برای این منظور ابتدا تصویر را به بلوک‌های  $32 \times 32$  بدون همپوشانی تقسیم و برای هر بلوک بدون لبه، واریانس آن را با استفاده از رابطه زیر محاسبه می‌کنیم:

$$V = \sum_{y=1}^S \sum_{x=1}^S [(R_{xy} - \bar{R}_{xy})^2 + (G_{xy} - \bar{G}_{xy})^2 + (B_{xy} - \bar{B}_{xy})^2] \quad (1)$$

$$\bar{R} = \frac{1}{S^2} \sum_{y=1}^S \sum_{x=1}^S R_{xy} \quad (2)$$

$$\bar{G} = \frac{1}{S^2} \sum_{y=1}^S \sum_{x=1}^S G_{xy} \quad (3)$$

$$\bar{B} = \frac{1}{S^2} \sum_{y=1}^S \sum_{x=1}^S B_{xy} \quad (4)$$

که در آن  $S$  ابعاد بلوک و برابر  $32$  و RGB مؤلفه‌های رنگی و  $\bar{R}$  و  $\bar{G}$  و  $\bar{B}$  میانگین مؤلفه‌ها در هر بلوک هستند. همچنین،  $x$  و  $y$  نیز اندیس نقاط هستند. حال واریانس بدست آمده را با واریانس آستانه بلوک  $32 \times 32$  مقایسه می‌کنیم. مقادیر آستانه برای بلوک‌های با ابعاد مختلف متفاوت است؛ ولی این آستانه برای بلوک‌های آستانه  $16 \times 16$  مقدار تجربی مقدار آستانه بلوک‌های  $16 \times 16$  برابر بیست‌هزار در نظر گرفته می‌شود و با توجه به این مقدار آستانه بلوک‌های  $S \times S$  از رابطه زیر محاسبه می‌شود:

$$V_T = \frac{(20000 \times S^2)}{16^2} \quad (5)$$

روش جهت تخمین مؤلفه‌های گرادیانی هر بلوک به شرح زیر است:

$$\hat{g}_y = \frac{\sum_{i=1}^S \left( i - \frac{s+1}{2} \right) (U_{i,V} - \bar{U}_V)}{\sum_{i=1}^S \left( i - \frac{s+1}{2} \right)^2} \quad (8)$$

$$\hat{g}_x = \frac{\sum_{i=1}^S \left( i - \frac{s+1}{2} \right) (U_{i,H} - \bar{U}_H)}{\sum_{i=1}^S \left( i - \frac{s+1}{2} \right)^2} \quad (9)$$

که در آن  $\bar{U}_V$  میانگین بردارهای  $H$  و  $V$  هستند. برای هر بلوک بردار گرادیانی ( $\hat{g}_x, \hat{g}_y$ ) برای هر یک از مؤلفه‌های RGB مستقلًا به دست می‌آید. حال به ادامه بررسی روش ارائه شده می‌پردازیم.

بعد از اینکه تمامی بلوک‌های  $32 \times 32$  برسی شدند، نوبت به مرحله دوم برسی بلوک‌های بدون لبه قابل حذف می‌رسد. در این مرحله، تصویر را به بلوک‌های بدون تقسیم می‌کنیم و حذفی بودن یا نبودن بلوک‌های بدون لبه‌ای که هیچ یک از نقاط آنها در مراحل قبل برچسب حذفی نخورده‌اند، بررسی می‌شود. نحوه بررسی مشابه بررسی بلوک‌های  $32 \times 32$  است و مقدار واریانس و آستانه آن از روابط (۱) و (۵) به دست می‌آید که در آنها  $S$  برابر  $16$  است. در صورتی که بلوکی  $16 \times 16$  در این مرحله قابل حذف تشخیص داده شد، گرادیان هر یک از مؤلفه‌های آن در جهت‌های  $x$  و  $y$  آن با استفاده از روابط (۸) و (۹) محاسبه شده و به عنوان اطلاعات کمکی ارسال می‌شود.

برای به دست آوردن نتیجه بهتر در بازسازی بلوک‌های گرادیانی در گیرنده، بلوک‌های گرادیانی که شرایط حذف را داشته‌اند، اما یکی از هشت همسایگی آنها بلوک لبه‌ای است، جزو بلوک‌های غیر قابل حذف در نظر می‌گیریم. با قراردادن این شرط، همسایه‌های بلوک‌های لبه‌ای قابل حذف جزو بلوک‌های ارسالی و غیر قابل حذف قرار می‌گیرند و در ترمیم این بلوک‌ها هر چهار همسایه موجود هستند. نکته مهمی که درباره ایده پیشنهاد شده برای متغیر بودن ابعاد بلوک‌ها وجود دارد، این است که ممکن است، بلوکی شامل لبه‌ای پیچیده‌ای باشد؛ اما زیربلوک‌هاییش لبه‌ساده داشته باشند یا اصلًا لبه نداشته باشند و واریانس آنها از آستانه کمتر باشد و در نتیجه قابل حذف باشند. بنابراین، کار میزان فشرده‌سازی در تصویر بیشتر می‌شود.

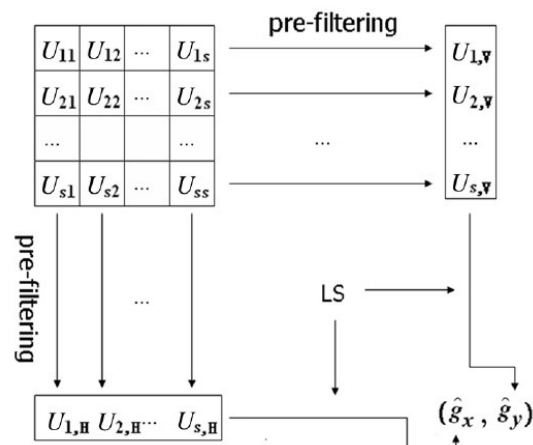
در مورد بلوک‌های بدون لبه‌ای هم که واریانس آنها از آستانه بیشتر است و در نتیجه قابل حذف نیستند، ممکن است،

در صورتی که واریانس بلوک از مقدار آستانه کمتر باشد، این بلوک، به عنوان بلوک گرادیانی  $32 \times 32$  در نظر گرفته می‌شود و باید حذف شود. مقدار گرادیان هر یک از مؤلفه‌های این بلوک در جهت‌های  $x$  و  $y$  محاسبه می‌شود تا به عنوان اطلاعات کمکی ارسال شود. در غیر این صورت این بلوک نگه داشته می‌شود تا در مرحله بعدی پردازش درباره زیربلوک‌های  $16 \times 16$  آن یا زیربلوک‌های  $8 \times 8$  تصمیم گرفته شود.

در ادامه نحوه محاسبه گرادیان در بلوک‌های بدون لبه را توضیح می‌دهیم. برای این منظور، با توجه به شکل ۶ ابتدا برای هر بلوک میانگین اندازه نقطه را برای هر سطر و ستون محاسبه می‌کنیم و سپس، بردارهای  $U$  و  $H$  را طبق رابطه زیر می‌سازیم:

$$V = (U_{1,V}, \dots, U_{S,V}), \quad U_{i,V} = \frac{1}{S} \sum_{x=1}^S U_{x,V} \quad (6)$$

$$H = (U_{1,H}, \dots, U_{S,H}), \quad U_{i,H} = \frac{1}{S} \sum_{y=1}^S U_{y,H}, \quad i = 1, \dots, S \quad (7)$$



(شکل-۶): چگونگی محاسبه گرادیان در بلوک‌های بدون لبه

[10]  
(Figure-6): Gradient evaluation in the edge blocks [10]

حال با استفاده از روش برازش<sup>۱</sup> مؤلفه‌های گرادیانی هر بلوک را در جهت‌های  $x$  و  $y$  تخمین می‌زنیم، در این روش، بهترین مدل برازش شده بر مجموعه‌ای از داده‌ها، مدلی است که در آن مجموع مربع باقی‌مانده‌ها کمینه باشد. منظور از باقی‌مانده‌ها، اختلاف بین داده مشاهده شده و مقداری است که از مدل به دست می‌آید. روابط حاصل از این

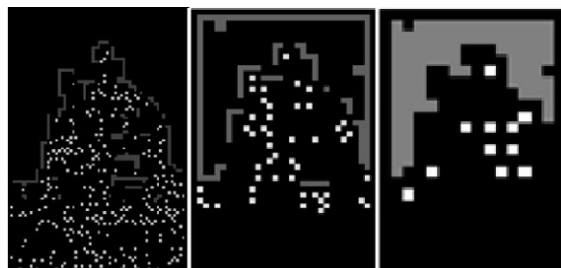
<sup>۱</sup> Least Squares



مؤلفه‌های RGB در دو جهت  $x$  و  $y$  به گرادیان نیاز داریم؛ یعنی برای هر بلوک شش مقدار گرادیانی باید ارسال شوند.

با توجه به اینکه پراکندگی مقادیر گرادیانی بسیار کمتر از پراکندگی مقادیر مؤلفه‌ها است، برای کاهش تعداد بیت لازم جهت ارسال گرادیان‌های هر بلوک از همبستگی این بلوک‌ها با هم استفاده می‌کنیم. برای این منظور پس از چندی‌سازی<sup>۱</sup> انداره گرادیان‌ها، ابتدا کدگذاری DPCM<sup>۲</sup> و سپس کدگذاری هافمن بر روی این مقادیر چندی‌سازی‌شده اعمال می‌شود.

پ) برای کدکردن محل بلوک‌ها، برای هر یک از ابعاد بلوک مطابق شکل (۸) یک نقشه در نظر می‌گیریم. برای بلوک‌های گرادیانی و لبه‌ای در نقشه مقدار غیر صفر Run Length در نظر می‌گیریم. حال با استفاده از روش ۳۲×۳۲ هر نقشه را کد می‌کنیم با این تفاوت که در کدکردن بلوک‌های شامل لبه، نمادهای ارسالی تنها صفر و یک بودند و برای ارسال هر یک از نمادها تنها به یک بیت نیاز داشتیم؛ به عبارتی کدگذاری دو سطحی بود؛ اما در اینجا بلوک‌های حذفی در هر یک از نقشه‌ها خود دو نوع لبه‌ای و غیرلبه‌ای هستند و بخش‌های دیگر نقشه هم مقدار صفر را دارند. بنابراین در هر نقشه سه نماد داریم و کدگذاری ما، سه سطحی است. درنتیجه برای کدکردن هر یک از نمادها به دو بیت نیاز داریم.

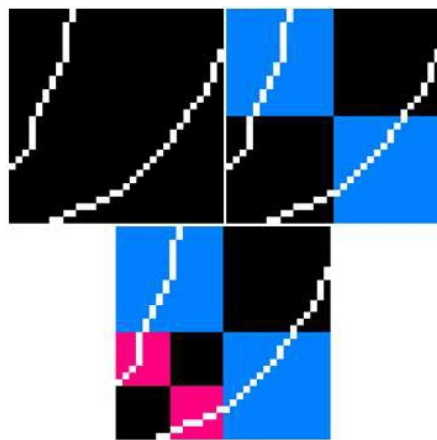


(شکل-۸): نقشه بلوک‌های حذفی  $32 \times 32$  (راست)،  $16 \times 16$  (وسط)، و  $8 \times 8$  (چپ)

(Figure-8): 32×32 skipped blocks map (right), 16×16 (center), and 8×8 (left)

### ۲-۳- گیرنده

در گیرنده ابتدا اطلاعات دریافت شده کدگشایی می‌شوند. به این صورت که بلوک‌های حذف‌نشده تصویر که تنها



(شکل-۷): مثالی از بلوک لبه‌ای غیرقابل حذف با زیربلوک‌های لبه‌ای و گرادیانی قابل حذف

(Figure-7): An example of necessary edge block with edge and gradient sub blocks

تغییرات مؤلفه‌های RGB در زیربلوک‌ها کمتر باشد. بنابراین، ممکن است واریانس آنها کمتر از مقدار آستانه شده و این زیربلوک‌ها قابل حذف شوند. مطالب بالا در شکل (۷) نشان داده شده‌اند. به عنوان مثال با تقسیم بلوک  $32 \times 32$  بالا سمت چپ-که خود شرایط حذف را ندارد- به بلوک‌های  $16 \times 16$  تنها بلوک پایین سمت چپ شرایط حذف را ندارد و سه بلوک دیگر می‌توانند حذف شوند. این بلوک هم در صورتی که به زیربلوک‌های  $8 \times 8$  تقسیم شود، زیربلوک‌های آن به صورت جداگانه به عنوان بلوک‌های  $8 \times 8$  قابل حذف می‌شوند.

### ۴-۱-۳- نحوه کدکردن اطلاعات ارسالی

با توجه به اینکه هدف ما فشرده‌کردن تصویر و کاهش اطلاعات ارسالی تا حد ممکن است، بر روی هر دسته از اطلاعات که در بخش قبل معرفی شدند، پیش از ارسال، کدگذاری منبع با نرخ فشرده‌سازی مناسب به ترتیب زیر اعمال می‌کنیم:

۱- برای قسمت‌هایی از تصویر که حذف نمی‌شوند، کدگذاری JPEG ساده اعمال می‌شود.

۲- برای بلوک‌هایی از تصویر که حذف می‌شوند، اطلاعات کمکی شامل موارد زیر کد می‌شوند:  
 (الف) در بلوک‌های شامل لبه قابل حذف، محل لبه‌ها را با استفاده از روش Run Length کد کرده و ارسال می‌کنیم.

ب) در بلوک‌هایی از تصویر که بدون لبه بوده و شرایط لازم برای حذف را داشته‌اند، در هر بلوک برای هر یک از

<sup>1</sup>Quantization

<sup>2</sup>Differential Pulse Code Modulation

در رابطه (۱۰)، داریم:

$$p(u_{i,j}) = u_{i,j} + (x-i)\hat{g}_x + (y-i)\hat{g}_y \quad (11)$$

$$k_1 = \frac{1}{2}(1 - \frac{y}{S-1}) \quad (12)$$

$$k_2 = \frac{1}{2} - k_1 \quad (13)$$

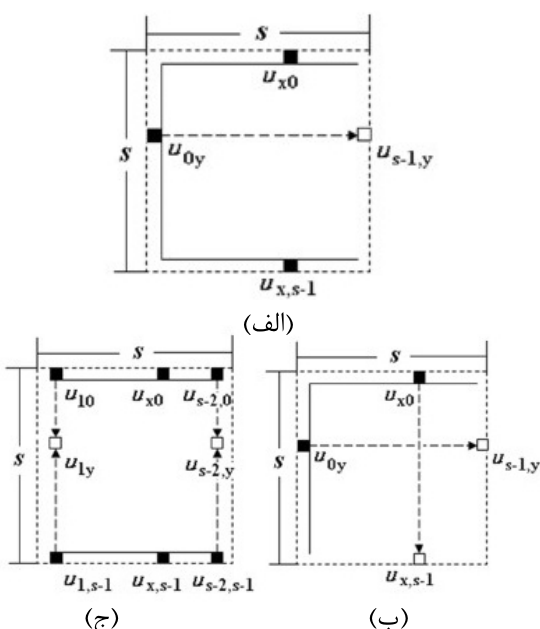
$$k_3 = \frac{1}{2}(1 - \frac{x}{S-1}) \quad (14)$$

$$k_4 = \frac{1}{2} - k_3 \quad (15)$$

که در آن  $(u_{i,j})p$  تخمینی است که با استفاده از نقطه  $u_{i,j}$  در حاشیه و با کمک گرادیان  $(\hat{g}_x, \hat{g}_y)$  برای نقطه  $u_{xy}$  بهدست می‌آید. در شکل (۱۰) حالت‌های ممکن نشان داده شده‌اند. شکل الف حالتی را نشان می‌دهد که در آن سه حاشیه از این چهار حاشیه در دسترس هستند و در شکل‌های (ب) و (ج) تنها دو حاشیه موجود هستند. در این شرایط ابتدا تخمینی از حاشیه نامعلوم را بهدست می‌آوریم. به عنوان مثال در حالت نخست که تنها به سه حاشیه دسترسی داریم، بعضی اطلاعات لازم را برای استفاده از رابطه (۷) در اختیار نداریم. بنابراین نقاط موجود در حاشیه حذف شده از رابطه زیر تخمین زده می‌شوند:

$$u_{s-1,y} = p(u_{0,y}) = u_{0,y} + (S-1)\hat{g}_x \quad (16)$$

در دو حالت بعد هم حاشیه‌های نامعلوم با روش‌های مشابه تخمین زده می‌شوند.



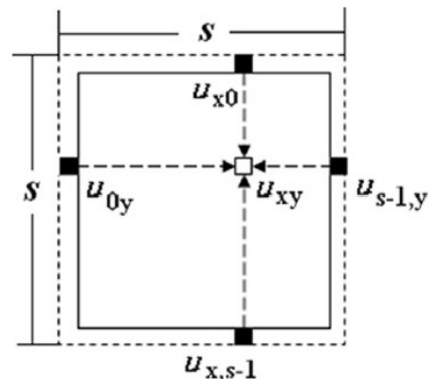
(شکل-۱۰): تخمین حاشیه‌های بلوک گرادیانی حذف شده [۹]  
(Figure-10): Border pixels restoration

کدگذاری JPEG روی آنها اعمال شده و اطلاعات کمکی بلوک‌های حذف شده شامل محل لبه‌ها و گرادیان‌ها و محل بلوک‌های حذفی تصویر کدگشایی می‌شوند و در مرحله بعد فرآیند ترمیم برای بلوک‌های لبه‌ای و گرادیانی انجام می‌شود.

در زیر بخش‌های بعدی به بررسی قسمت‌های مختلف گیرنده می‌پردازیم.

### ۱-۲-۳- نحوه بازسازی بلوک‌های بدون لبه

نخستین مرحله در گیرنده ترمیم بلوک‌های گرادیانی تصویر است. برای این منظور از روش PAI با کمی تغییر استفاده می‌کنیم. در این روش بلوک گرادیانی حذف شده با استفاده از اطلاعات نقاط معلوم همسایه و با کمک گرادیان آن بلوک که در فرستنده محاسبه و ارسال شده است، ترمیم و بازسازی می‌شود. نحوه بازسازی به این شکل است که برای یک ناحیه شامل بلوک‌های گرادیانی، ابتدا بلوک‌های با بیشترین همسایه معلوم (از بین چهار همسایگی ممکن) بازسازی می‌شوند و در مراحل بعد نوبت به بلوک‌های با همسایه‌های کمتر می‌رسد. در شکل (۹) حالتی نشان داده شده است که برای یک بلوک  $S \times S$  تمام نقاط چهار همسایگی در دسترس هستند. توجه کنید که  $S \times S$  ابعاد بلوک و حاشیه موجود آن است. به عبارتی اگر بلوک حذفی  $32 \times 32$  باشد، مقدار  $S$  برابر ۳۴ است.



(شکل-۹): یک بلوک  $S \times S$  با چهار همسایه مرسی [۹]  
(Figure-9): An  $S \times S$  block with four border pixels

اندازه هر نقطه نامعلوم  $u_{xy}$  درون این بلوک که در آن  $x, y \leq S-1$  با استفاده از چهار نقطه متضاظر آن در حاشیه بلوک و از روابط زیر تخمین زده می‌شود:

$$u_{xy} = k_1 p(u_{x,0}) + k_2 p(u_{x,S-1}) + k_3 p(u_{0,y}) + k_4 p(u_{S-1,y}) \quad (10)$$

$$\omega_i = \frac{1}{d(x^P, x^P)}, i \in \{1, 2\} \quad (18)$$

در روابط بالا،  $\lambda^{P1}$  و  $\lambda^{P2}$  اندازه نقاط حاشیه‌ای و معلوم  $P_1$  و  $P_2$  بوده و  $\omega_1$  و  $\omega_2$  به ترتیب معکوس فاصله نقطه  $P$  از نقاط  $P_1$  و  $P_2$  است. با استفاده از روابط بالا، مقدار نقطه  $P$  از ناحیه بلوک مشخص می‌شود. برای تمامی نقطه نامعلوم روند بالا را جهت محاسبه مقدار نقاط تکرار می‌کنیم.

### ۳-۲-۳- نحوه پیدا کردن مسیرهای موازی لبه

برای دانستن مسیرهای موازی با لبه ابتدا باید الگوی لبه را به دست آوریم. برای این کار به عنوان نمونه برای یک بلوک  $8 \times 8$  شده یک بلوک  $10 \times 10$  شامل بلوک حذف شده و حاشیه موجود آن در نظر می‌گیریم، حال به جستجوی نخستین نقطه لبه موجود در این بلوک می‌پردازیم، به این صورت که یک جستجو در حاشیه بلوک انجام می‌دهیم و نخستین نقطه غیر صفر را به عنوان نخستین نقطه لبه موجود در بلوک انتخاب می‌کنیم. حال برای این نقطه در بین پنج همسایگی اش در بلوک  $10 \times 10$  (از بین هشت همسایگی موجود) جستجوی کنیم تا نقطه لبه بعدی را پیدا کنیم. این نقطه دومین مقدار در بردار الگو است. حال هشت همسایگی این نقطه را بررسی می‌کنیم و به همین ترتیب بقیه مقادیر بردار الگو را به دست می‌آوریم و این بردار را کامل می‌کنیم. حال تمام نقاط حاشیه بلوک را به عنوان نقاط ابتدایی الگو در نظر گرفته و مسیرهای موازی را با توجه به رابطه تفاضلی مقادیر بردار الگوی به دست آمده برای هر یک از آنها می‌سازیم. بردار تفاضلی حاصل از این بردار که رابطه نقاط این الگو را نشان می‌دهد، را به دست می‌آوریم. البته اولویت در اینجا با نقاطی از حاشیه است که در همان سمت نخستین نقطه لبه باشند. بدین ترتیب با شروع از یک نقطه حاشیه‌ای با اولویت مسیری را که از این نقطه به موازات مسیر لبه است؛ پیدا می‌کنیم و براساس آن مسیر حذف شده بازیابی می‌شوند.

## ۴- شبیه‌سازی و تحلیل نتایج

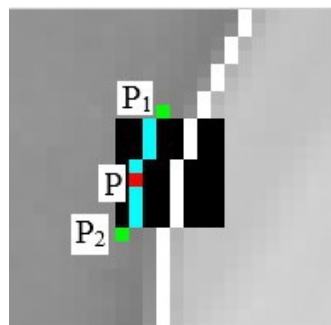
در این قسمت به بررسی نتایج شبیه‌سازی‌های انجام شده می‌پردازیم. در شکل (۱۲) هشت تصویری که در بررسی الگوریتم پیشنهادشده در این مقاله مورد استفاده قرار گرفته، معرفی شده‌اند. در جدول (۱) نیز ویژگی‌های این تصاویر داده شده است. تعداد بیت بر پیکسل در تمامی تصاویر ۲۴

برخلاف روش PAI حالت وجود تک همسایه در اینجا در نظر گرفته نمی‌شود و آنقدر بلوک‌های با ۲ و ۳ و ۴ همسایه بازسازی می‌شوند تا دستکم یکی دیگر از همسایه‌های این نوع بلوک‌ها بازسازی شوند و بعد این بلوک‌ها با توجه به تعداد همسایه‌هایشان که از ۱ بیشتر شده بازسازی می‌شوند.

### ۴-۲-۳- نحوه بازسازی بلوک‌های شامل لبه

روش پیشنهادی در بازسازی بلوک‌های شامل لبه، از روش پیشنهاد شده در مقاله [21] الهام گرفته شده است. البته در اینجا مکان لبه‌ها به عنوان یکی از اطلاعات کمکی در دسترس هستند و نیازی به تخمين آنها نداریم. در روش قبل شکل لبه‌های موجود در مصنوعات<sup>۱</sup> دایره در نظر گرفته شده و از دایره‌های هم مرکز با دایره‌ای که لبه بخشی از آن دایره است، برای بازسازی نقاط مصنوعات استفاده می‌شود؛ اما لبه‌ها حفظ می‌شود و بقیه نقاط بلوک حذف شده بر روی منحنی انتقال یافته منحنی لبه اصلی ترمیم می‌شوند.

برای بازسازی هر نقطه حذف شده داخل بلوک، مانند نقطه  $P$ ، مسیر موازی با لبه که الگوی لبه را به طور دقیق دنبال کرده و از نقطه  $P$  نیز می‌گذرد، در نظر می‌گیریم و نقاط حاشیه‌ای و معلوم  $P_1$  و  $P_2$  بلوک را که جزئی از این الگو هستند، به عنوان نقاط مرجع جهت بازسازی نقطه  $P$  در داخل بلوک در نظر می‌گیریم.



(شکل-۱۱): بازسازی نقطه  $P$  با استفاده از نقاط کمکی  $P_1$  و  $P_2$   
(Figure-11): P pixel restoration using auxiliary pixels  $P_1$  and  $P_2$

حال با استفاده از رابطه زیر جهت تخمين نقاط مصنوعات که شامل تنها یک جفت لبه است و با دانستن محل و مقدار نقاط مرجع  $P_1$  و  $P_2$ ، به تخمين این نقطه می‌پردازیم:

$$\lambda^P = \frac{\omega_1 \lambda^{P1} + \omega_2 \lambda^{P2}}{\omega_1 + \omega_2} \quad (17)$$

که در آن داریم:

<sup>۱</sup> Artifact



کمی‌سازی کیفیت بدون داشتن تصویر مرجع است، بهصورت زیر تعریف می‌شود:

فرض کنید تصویر دارای ابعاد  $M \times N$  بوده و نقاط سیگنال بهصورت  $(n, m)$  باشند، ابتدا سیگنال تفاضلی افقی بهصورت زیر تعریف می‌شود:

$$d_h(m, n) = x(m, n+1) - x(m, n), \quad n \in [1, N-1] \quad (19)$$

سپس، اثر بلوکی‌شدن در راستای افقی بر اساس رابطه زیر تعریف می‌شود:

$$B_h = \frac{1}{M(\lfloor \frac{N}{8} \rfloor - 1)} \sum_{i=1}^M \sum_{j=1}^{\lfloor \frac{N}{8} \rfloor} |d_h(i, 8j)| \quad (20)$$

برای تخمین میزان ماتشدگی تصویر بدون دسترسی به تصویر مرجع از رابطه زیر که با اندازه اعوجاج بلوکی تلفیق شده است، استفاده می‌شود:

$$A_h = \frac{1}{7} \left[ \frac{8}{M(N-1)} \sum_{i=1}^M \sum_{j=1}^{N-1} |d_h(i, j)| - B_h \right] \quad (21)$$

برای سنجش روشی تصویر نیز از معیار عبور از صفر استفاده می‌شود، که بهصورت زیر تعریف شده است:

$$Z_h = \frac{1}{M(N-2)} \sum_{m=1}^M \sum_{n=1}^{N-2} Z_h(m, n) \quad (22)$$

که در رابطه (22)،  $Z_h(m, n)$  بهصورت زیر است:

$$Z_h(m, n) = \begin{cases} 1 & : \text{Zero Crossing for } d_h(m, n) \\ 0 & : \text{Otherwise} \end{cases} \quad (23)$$

اکنون، مقدار پارامترهای داده شده در (20)-(22) برای راستای عمودی نیز محاسبه شده و میانگین راستای افقی و عمودی بهعنوان پارامترهای  $A, Z, B$  در مدل نمره کیفیت  $Q_s$  زیر قرار داده می‌شود:

$$Q_s = \alpha + \beta B^{\gamma_1} A^{\gamma_2} Z^{\gamma_3} \quad (24)$$

در مرجع [14] پارامترهای  $\alpha, \beta, \gamma_1, \gamma_2, \gamma_3$  براساس داده‌های آموزشی (تصاویر معین) و نمره‌دهی گروهی به کیفیت تصاویر و درنهایت برآش داده‌ها به مدل بالا، بهصورت زیر بهدست آمده است:

$$\alpha = -245.9, \quad \beta = 261.9, \quad (25)$$

$$\gamma_1 = -0.024, \quad \gamma_2 = 0.016, \quad \gamma_3 = 0.0064$$

مقدار عددی  $Q_s$  عددی بین صفر تا شانزده است که هر چه بیشتر باشد، بیان‌گر کیفیت ادراکی بهتر تصویر است.

در جدول (۲) نتایج اجرای الگوریتم پیشنهادی بر تصاویر معرفی شده ارائه شده است. در این جدول، میانگین بیت ارسالی لازم در هر پیکسل، ضریب فشردگی، نسبت سیگنال به نویه و کیفیت ادراکی تصویر دریافت شده آورده شده است. همان‌طور که ملاحظه می‌شود، روش ارائه شده دارای  $bpp$



(شکل-۱۲): تصاویر استفاده شده در الگوریتم پیشنهادی  
(Figure-12): Images considered in our proposed algorithm

(جدول-۱): ویژگی‌های تصاویر استفاده شده در بررسی الگوریتم پیشنهادشده

(Table-1): Considered images parameters for evaluation of the proposed algorithm

	حجم	ابعاد تصویر
Kodim09	۵۸۲۸۹۹	۷۶۸×۵۱۲
Kodim20	۴۹۲۴۶۲	۵۱۲×۷۶۸
jet	۹۸۱۸۰۴	۵۰۰×۷۳۲
bird	۲۰۷۵۵۷	۷۰۰×۴۶۵
man	۴۲۸۸۲۹	۷۶۸×۱۰۲۴
sky	۲۱۴۷۰۲	۴۳۸×۷۰۰
Blue sky	۱۱۹۳۶۴۹	۷۶۸×۱۰۲۴
Purple morning	۱۲۰۴۰۸۱	۷۶۸×۱۰۲۴

بیت بوده است.

جهت مقایسه نتایج شبیه‌سازی‌ها از معیارهای مختلفی استفاده کرده‌ایم. معیار بیت بر پیکسل BPP که برابر میانگین بیت ارسالی لازم در هر پیکسل است. معیار ضریب فشردگی<sup>۱</sup> (Cr) که این پارامتر نشان‌دهنده میزان فشردگی تصویر است و بهصورت نسبت کل بیت‌های لازم برای ارسال تصویر اصلی و کل بیت‌های لازم برای ارسال یا ذخیره تصویر فشرده شده تعریف می‌شود. معیار نسبت سیگنال به نویه<sup>۲</sup> (PSNR) که در حقیقت اگر متوسط مربعات خطای بین تصویر اصلی و تصویر بازسازی‌شده را بهعنوان توان نویه در نظر گرفته و بیشینه مقدار پیکسل تصویر را به توان دو رسانده بهعنوان توان سیگنال) و آن را به نویه بهدست آمده تقسیم کنیم مقدار PSNR بهدست می‌آید. درنهایت، کیفیت ادراکی تصویر دریافت شده<sup>۳</sup> ( $Q_s$ ) از جمله معیارهای مورد استفاده در مقاله هستند [23]-[22]. این معیار که بیان‌گر یک روش

<sup>۱</sup> Compression Rate (Cr)

<sup>۲</sup> Peak Signal to Noise Ratio

<sup>۳</sup> Perceptual quality assessment

جهت مقایسه کیفیت، در جدول (۴) مقداری مربوط به معیار نسبت سیگنال به نویه آورده شده است. همان‌طور که از نتایج این جدول مشخص است، اندکی کاهش کیفیت از دید مقایسه JPEG پارامتر PSNR در روش پیشنهادی نسبت به روش JPEG دیده می‌شود که البته این افت کیفیت در ازای حصول فشرده‌سازی قابل توجه به دست آمده است. همچنان، باید توجه شود که معیار PSNR بیان‌گر معیار بصری کیفیت نیست. لازم به ذکر است که در این مقایسه، میزان فشرده‌سازی روش ارائه شده بسیار بیشتر از روش استاندارد JPEG بوده است.

برای مقایسه روش پیشنهادی با روش‌های ارائه شده در دیگر مقالات، به دلیل پایه‌ای بودن مرجع [۹]، مقایسه‌ای با روش PAI انجام داده‌ایم. در جدول (۵) میانگین بیت بر پیکسل، PSNR و معیار کیفیت ادراکی در روش‌های JPEG و روش پیشنهادی مقایسه شده‌اند. همان‌طور که جدول ۴-۵ نشان می‌دهد از نظر نرخ فشرده‌سازی، روش پیشنهادی بسیار بهتر عمل کرده است. اگرچه، همان‌طور که در نتایج جدول (۴) نیز مشاهده شد، ممکن است معیار کیفیت PSNR در مقایسه با روش‌های استانداردی چون JPEG کمتر باشد؛ اما، میزان فشرده‌سازی در روش پیشنهادی بسیار بالاتر است. به علاوه، جهت مقایسه کیفیت بصری، نتایج تصویری نیز در شکل‌های (۲) و (۳) نشان داده شده است. نتایج تصویری نشان می‌دهند که نتایج کیفی مشابه همراه با فشردنگی بهتری از روش PAI به دست آمده است. ضریب کیفیت تبدیل JPEG برابر ۷۵ در مقایسه‌ها در نظر گرفته شده است.

بسیار کمی است، به عبارتی، فشرده‌سازی قابل ملاحظه‌ای بدست آمده است.

(جدول-۲): نتایج اجرای الگوریتم پیشنهادی

(Table-2): Simulation results in our proposed algorithm

	BPP	Cr	PSNR	Qs
Kodim09	۰/۰۹۴۷	۲۵۳	۳۵/۸۲۹۶	۱۰/۵۵۶۰
Kodim20	۰/۰۵۲۲	۴۶۰	۳۶/۱۷۲۶	۱۰/۶۳۳۱
jet	۰/۰۶۳۷	۳۷۷	۳۵/۸۷۵۳	۱۱/۹۰۷۴
bird	۰/۱۱۴۹	۲۰۹	۳۵/۸۵۹۱	۹/۳۲۷۸
man	۰/۰۶۱۵	۴۹۰	۳۵/۰۰۹۷	۹/۱۴۰۰
sky	۰/۰۷۲۴	۳۲۴	۴۰/۷۱۹۳	۹/۹۵۰۹
Blue sky	۰/۰۴۶۷	۵۱۴	۳۵/۲۵۸۰	۱۰/۸۰۳۴
Purple morning	۰/۰۷۰۶	۳۴۰	۳۸/۲۸۴۶	۱۰/۸۴۶۷

برای اینکه با روش استاندارد فشرده‌سازی، مقایسه‌ای انجام شود، در جدول (۳) به ازای بیت بر پیکسل یکسان، نتایج مربوط به PSNR و Qs روش استاندارد JPEG و روش پیشنهادی ارائه شده است. همچنان، جهت مقایسه پژوهش‌های انجام شده در این زمینه، نتایج مربوط به روش‌های PAI و روش ارائه شده در مرجع [۲۵] نیز در این جدول آورده شده است. همان‌طور که در جدول نیز مشخص است، روش پیشنهادی در بیشتر موارد به ازای bpp یکسان دارای نسبت سیگنال به نویه و معیار کیفیت ادراکی Qs بالاتری است. البته همان‌طور که در قبیل نیز اشاره شد، نکته مهم در روش ارائه شده، قابلیت فشرده‌سازی قابل توجه در نسبت سیگنال به نویه و کیفیت ادراکی به طور تقریبی یکسان در مقایسه با روش‌های دیگر است.

(جدول-۳): میانگین بیت بر پیکسل الگوریتم پیشنهادی و الگوریتم [۲۵]

(Table-3): bpp in our proposed algorithm and algorithm given by [25]

bpp	JPEG		PAI		Proposed		Reference [25]		
	PSNR	Qs	PSNR	Qs	PSNR	Qs	PSNR	Qs	
Kodim09	۰/۴	۳۸/۶۴	۹/۷۳	۳۸/۲۲	۱۰/۳۴	۴۱/۹۵	۱۱/۲۴	۳۹/۶۱	۱۰/۸۳
Kodim20	۰/۲	۳۷/۱۲	۹/۵۲	۳۶/۴۲	۱۰/۱۵	۳۸/۴۵	۱۰/۷۱	۳۷/۲۵	۱۰/۲۰
jet	۰/۱۵	۳۵/۸۷	۶/۱۲	۳۶/۱۲	۷/۱۸	۳۷/۲۷	۱۲/۳۱	۳۵/۶۸	۸/۱۲
bird	۰/۱۵	۴۱/۲۸	۷/۶۴	۴۱/۸۶	۸/۱۲	۴۲/۸۷	۱۰/۴۸	۴۱/۵۵	۸/۹۴
man	۰/۲۵	۴۴/۴۱	۷/۲۶	۴۳/۸۷	۹/۱۲	۴۵/۰۸	۱۰/۶۳	۴۵/۱۲	۹/۸۹
sky	۰/۲۵	۴۵/۱۷	۹/۱۴	۴۵/۲۴	۱۰/۱۲	۴۵/۴۷	۱۱/۰۱	۴۵/۳۸	۱۰/۸۲
Blue sky	۰/۱۵	۳۷/۴۳	۸/۱۵	۳۶/۸۸	۹/۸۷	۳۸/۸۱	۱۱/۳۷	۳۷/۱۶	۱۰/۱۱
Purple morning	۰/۲۵	۴۰/۲۸	۹/۱۸	۴۰/۵۷	۹/۲۸	۳۹/۴۸	۱۰/۹۳	۳۹/۷۱	۹/۸۲

(جدول-۴): نسبت سیگنال به نویه در الگوریتم پیشنهادی و الگوریتم

JPEG

(Table-4): SNR in our proposed algorithm and JPEG algorithm

	Proposed method	Jpeg
Kodim09	۳۵/۸۲۹۶	۳۹/۴۸۶۷
Kodim20	۳۶/۱۷۲۶	۴۲/۹۸۸۴
jet	۳۵/۸۷۵۳	۳۷/۱۱۹۰
bird	۳۵/۸۵۹۱	۴۲/۲۵۲۸
man	۳۵/۰۰۹۷	۴۴/۴۰۵۷
sky	۴۰/۷۱۹۳	۴۵/۱۷۵۳
Blue sky	۳۵/۲۵۸۰	۳۷/۴۳۰۶
Purple morning	۳۸/۲۸۴۶	۴۰/۷۷۸۸

(جدول-۵): میانگین بیت بر پیکسل روش پیشنهادی با روش‌های JPEG، PAI و H.264

(Table-5): average bpp of our proposed method with JPEG, PAI, and H.264

	JPEG	Proposed method (Based on JPEG)	Bit Rate Saving	H.264	Proposed method (Based on H.264)	Bit Rate Saving	PAI	Bit Rate Saving in comparison with Our method (JPEG)	Bit Rate Saving in comparison with Our method (H.264)
Kodim09(BPP)	۰/۵۲۲۵	۰/۰۹۴۷	۸۱/۸۷	۰/۴۸۰۲	۰/۰۸۴۳	۸۲/۴۵	۰/۰۱۲	۲۳/۶۳	۴۷/۱
Kodim20(BPP)	۰/۳۱۳۴	۰/۰۵۲۲	۸۲/۱۴	۰/۲۸۷۵	۰/۰۴۴۳	۸۴/۶۱	۰/۰۸۰	۵۳/۲۶	۸۰/۵۸
Kodim09(PSNR)	۰/۵۲۲۵	۰/۰۹۴۷	۸۱/۸۷	۰/۴۸۰۲	۰/۰۸۴۳	۸۲/۴۵	۰/۱۲۴	۲۳/۶۳	۴۷/۱
Kodim20(PSNR)	۰/۳۱۳۴	۰/۰۵۲۲	۸۲/۱۴	۰/۲۸۷۵	۰/۰۴۴۳	۸۴/۶۱	۰/۰۸۰	۵۳/۲۶	۸۰/۵۸
Kodim09(Qs)	۰/۵۲۲۵	۰/۰۹۴۷	۸۱/۸۷	۰/۴۸۰۲	۰/۰۸۴۳	۸۲/۴۵	۰/۱۲۴	۲۳/۶۳	۴۷/۱
Kodim20(Qs)	۰/۳۱۳۴	۰/۰۵۲۲	۸۲/۱۴	۰/۲۸۷۵	۰/۰۴۴۳	۸۴/۶۱	۰/۰۸۰	۵۳/۲۶	۸۰/۵۸



ج) روش پیشنهادی

ب) روش PAI

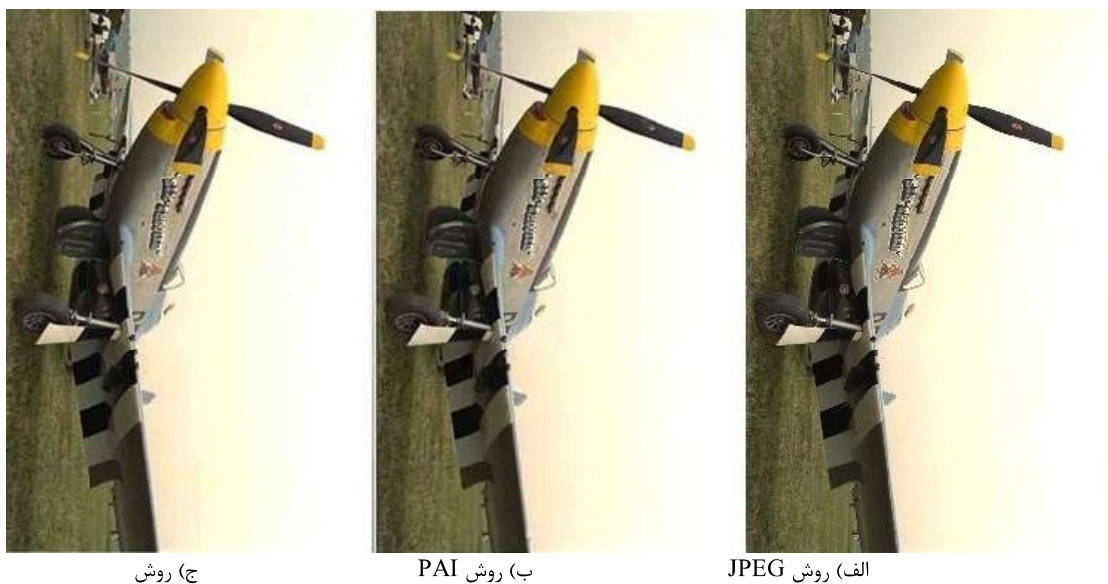
الف) روش JPEG

(شکل-۱۳): نتایج فشرده‌سازی تصویر kodim09. از چپ به راست: JPEG، PAI، روش پیشنهادی و مقادیر معیارهای مقایسه برای روش پیشنهادی،  $BPP=0.0947$ ,  $PSNR=35.8296$ ,  $Qs=10.556$

(Figure-13): Compression results for kodim09 image. From left to right: JPEG, PAI, and our proposed method. Parameter values are:  $BPP=0.0947$ ,  $PSNR=35.8296$ ,  $Qs=10.556$

فصل سی





پیشنهادی

(شکل-۱۴): نتایج فشرده سازی تصویر kodim20. از چپ به راست: PAI، JPEG روش پیشنهادی و مقادیر معیارهای مقایسه

برای روش پیشنهادی،

$BPP=0.0522$ ,  $PSNR=36.1726$ ,  $Qs=10.6331$

(Figure-14): Compression results for kodim20 image. From left to right: JPEG, PAI, and our proposed method.

Parameter values are:

$BPP=0.0522$ ,  $PSNR=36.1726$ ,  $Qs=10.6331$

تشخیص صحیح تر بلوک های لبه ای حذفی و غیر حذفی و در نتیجه ترمیم بهتر تصویر فراهم شود. به علاوه، در بخش کدگذاری اطلاعات کمکی، در صورت یافتن روش کدگذاری مناسب، امکان به دست آوردن میانگین بیت بر پیکسل بهتر وجود دارد. بنابراین، امکان بهبود کیفیت تصاویر بازسازی شده در روش پیشنهادی نیز با یافتن روش های ترمیم کارآمد در آینده وجود دارد.

## 6. References

## 6-مراجع

[۱] شمسی گوشکی، ا.، نظام آبادی پور، ح.، سریزدی، س.، کبیر، ا.، "روشی برای باز خورد ربط براساس بهبود تابع شباهت در بازیابی تصویر بر اساس محظوظاً" فصل نامه علمی پژوهشی «پردازش علائم و داده ها»، دوره ۱۱، شماره ۲، ۱۳۹۳-۱۲، صفحات ۴۳ تا ۵۵

[1] Shamsi gooshki A, Nezamabadi-pour H, Saryazdi S, Kabir E. "a relevance feedback approach based on similarity refinement in content based image retrieval". Journal of Signal and Data Processing, JSDP, vol. 11 (2) pp:43-55, 2015.

[2] Bertalmio, Marcelo, Guillermo Sapiro, Vincent Caselles, and Coloma Ballester. "Image inpainting." In Proceedings of the 27th annual conference on Computer graphics and interactive techniques, ACM Press/Addison-Wesley

## ۵-نتیجه گیری

در این مقاله، با استفاده از روش های حذف اطلاعات به صورت هوشمندانه و با استفاده از روش های ترمیم تصویر، روش جدیدی جهت فشرده سازی تصاویر پیشنهاد شد. این روش، علاوه بر این که باعث فشردگی قابل توجه تصویر می شود، نتیجه کیفی مناسبی نیز در گیرنده دارد. همان طور که در بخش نتایج دیده شد، از نقطه نظر معیارهای کیفیت مانند Qs و PSNR در بیشتر تصاویر انتخاب شده تفاوت قابل توجهی با روش JPEG و روش PAI دیده نمی شود و در روش پیشنهاد شده، مقدار نرخ فشرده سازی بسیار قابل توجه است. بنابراین، تصاویر فشرده و بازسازی شده با روش پیشنهادی بهتر یا در حد نتایج تصویری تصاویر فشرده و بازسازی شده با روش های دیگر است. نتایج ارائه شده در جدول معیار ادراکی کیفیت نیز این نتیجه را به طور کامل تأیید می کنند. این بهتر بودن کیفیت، زمانی که در کنار نسبت فشردگی قرار می گیرد، مزیت روش پیشنهادی را نسبت به روش های JPEG و PAI و دیگر روش های مطالعه شده تأیید می کند. همچنان، میانگین بیت بر پیکسل ارسالی با روش پیشنهادی در همه موارد از روش های دیگر بهتر است. می توان در ادامه روش های بهتر برای یافتن نوع خاکستری تصویر یا روش های لبه یابی استفاده کرد تا امکان



- on spatial redundancy removal and image inpainting." *Journal of Zhejiang University SCIENCE C*, vol. 11, no. 2 pp: 92-100, January 2010.
- [13] Guillemot, Christine, and Olivier Le Meur. "Image inpainting: Overview and recent advances." *IEEE Signal Processing Magazine*, vol. 31, no. 1 pp: 127-144, January 2014.
- [14] Wang, Zhou, Hamid R. Sheikh, and Alan C. Bovik. "No-reference perceptual quality assessment of JPEG compressed images." In *Image Processing 2002, International Conference on IEEE*, vol. 1, 2002, pp. 472-477
- [15] Bertalmio, Marcelo. "Strong-continuation, contrast-invariant inpainting with a third-order optimal PDE." *IEEE Transactions on Image Processing*, vol. 15, no. 7 pp: 1934-1938, July 2006.
- [16] Chen, Peiying, and Yuandi Wang. "Fourth-order partial differential equations for image inpainting." *ICALIP 2008. International Conference on Audio, Language and Image Processing, IEEE*, 2008, pp. 1713-1717.
- [17] Richard, Manuel M. Oliveira Brian Bowen, and McKenna Yu-Sung Chang. "Fast digital image inpainting." Appeared in the Proceedings of the International Conference on Visualization, Imaging and Image Processing (VIIP 2001), Marbella, Spain, pp. 106-107.
- [18] Shen, Jianhong, and Tony F. Chan. "Mathematical models for local nontexture inpaintings." *SIAM Journal on Applied Mathematics* vol. 62, no. 3 pp: 1019-1043, 2002.
- [19] Chan, Tony F., and Jianhong Shen. "Nontexture inpainting by curvature-driven diffusions." *Journal of Visual Communication and Image Representation* vol. 12, no. 4 pp: 436-449, December 2001.
- [20] Bertalmio, Marcelo, Luminita Vese, Guillermo Sapiro, and Stanley Osher. "Simultaneous structure and texture image inpainting." *IEEE Transactions on Image Processing*, vol. 12, no. 8 pp: 882-889, August 2003.
- [21] Rareş, Andrei, Marcel JT Reinders, and Jan Biemond. "Edge-based image restoration." *IEEE Transactions on Image Processing*, vol. 14, no. 10 pp: 1454-1468, October 2005.
- [22] Ma, Wenjuan, Maolin Hu, and Pengyong Hu. Publishing Co., 2000, pp. 417-424.
- [3] Rane, Shantanu D., Guillermo Sapiro, and Marcelo Bertalmio. "Structure and texture filling-in of missing image blocks in wireless transmission and compression applications." *IEEE Transactions on Image Processing*, vol. 12, no. 3, pp: 296-303, March 2003.
- [4] Criminisi, Antonio, Patrick Pérez, and Kentaro Toyama. "Region filling and object removal by exemplar-based image inpainting." *IEEE Transactions on Image Processing*, vol. 13, no. 9, pp: 1200-1212, September 2004.
- [5] Xu, Zongben, and Jian Sun. "Image inpainting by patch propagation using patch sparsity." *IEEE Transactions on Image Processing*, vol. 19, no. 5, pp: 1153-1165, May 2010.
- [6] Ružić, T., and A. Pižurica. "Context-aware patch-based image inpainting using Markov random field modeling." *IEEE transactions on image processing*, vol. 24, no. 1, pp: 444-456, January 2015.
- [7] Weickert, Joachim. "From Optimized Inpainting with Linear PDEs Towards Competitive Image Compression Codecs." In *Image and Video Technology: 7th Pacific-Rim Symposium, PSIVT 2015, Auckland, New Zealand, November 25-27, Revised Selected Papers*, vol. 9431, Springer, 2016, pp: 63-68
- [8] Peter, Pascal, and Joachim Weickert. "Compressing images with diffusion-and exemplar-based inpainting." In *Scale Space and Variational Methods in Computer Vision*, Springer International Publishing, pp. 154-165, April 2015.
- [9] Liu, Dong, Xiaoyan Sun, Feng Wu, Shipeng Li, and Ya-Qin Zhang. "Image compression with edge-based inpainting." *IEEE Transactions on Circuits and Systems for Video Technology*, vol. 17, no. 10 pp: 1273-1287, January 2007.
- [10] Xiong, Zhiwei, Xiaoyan Sun, and Feng Wu. "Block-based image compression with parameter-assistant inpainting." *IEEE Transactions on Image Processing*, vol. 19, no. 6, pp: 1651-1657, June 2010.
- [11] Zhao, Chen, Jian Zhang, Siwei Ma, and Wen Gao. "Wavelet inpainting driven image compression via collaborative sparsity at low bit rates." In *Image Processing (ICIP), 2013 20th IEEE International Conference on*, IEEE, 2013, pp. 1685-1689.
- [12] Bastani, Vahid, Mohammad Sadegh Helfroush, and Keyvan Kasiri. "Image compression based

حاضر ایشان دانشیار گروه مخابرات و الکترونیک دانشگاه شیراز هستند که از سال ۱۳۸۳ تا کنون مشغول تدریس هستند. ایشان همچنین به مدت ۹ ماه دوره فرست مطالعاتی را در آزمایشگاه پردازش تصویر در دانشگاه لاروش در شهر لاروش کشور فرانسه در سال ۱۳۹۴ گذرانده‌اند. زمینه مورد علاقه ایشان پردازش تصویر و ویدیو، شنا سایی الگو، آنالیز تصاویر پزشکی، ماشین بینایی و سنجش از دور است.

نشانی رایانامه ایشان عبارت است از:  
[yazdi@shirazu.ac.ir](mailto:yazdi@shirazu.ac.ir)



**مریم السادات منافی مدرک**  
کارشناسی را در رشته مهندسی برق از گروه مهندسی برق و الکترونیک دانشگاه شیراز در سال ۱۳۸۶ و مدرک کارشناسی ارشد را در رشته مخابرات سیستم از دانشگاه

مهندسی برق و کامپیوتر دانشگاه شیراز در سال ۱۳۹۰ دریافت کرده است. زمینه مورد علاقه ایشان پردازش تصویر است.

نشانی رایانامه ایشان عبارت است از:  
[m\\_manafi\\_2010@yahoo.com](mailto:m_manafi_2010@yahoo.com)

"Image Inpainting under Single Image." In Congress on Image and Signal Processing, IEEE 2008. CISP'08. vol. 1, 2008, pp. 636-640.

[23] Gonzalez, Rafael C., and Richard E. Woods. Digital Image Processing. Prentice-Hall, New Jersey, 3rd Edition, 2007.

[24] Varghese, Sikha Mary, Alphonsa Johny, and Jubilant Job. "A survey on joint data-hiding and compression techniques based on SMVQ and image inpainting." In International Conference on Soft-Computing and Networks Security (ICSNS), IEEE, 2015, pp. 1-4.

[25] Di, Wu, Ren Li, and Wu Shuang. "Inpainting intergrate with decomposition for image compression." In Advanced Information Technology, Electronic and Automation Control Conference (IAEAC), 2015 IEEE, 2015, pp. 35-38.

**علی جمشیدی** مدرک کارشناسی را در رشته الکترونیک از گروه مهندسی برق و الکترونیک دانشگاه شیراز در سال ۱۳۷۶ و مدارک کارشناسی ارشد و دکترا را در رشته مخابرات سیستم از دانشگاه مهندسی برق دانشگاه شریف بهترتبی در سال‌های ۱۳۷۸ و ۱۳۸۵ دریافت کرد. در حال حاضر ایشان دانشیار بخش مخابرات و الکترونیک دانشکده مهندسی برق و کامپیوتر دانشگاه شیراز هستند که از سال ۱۳۸۶ تاکنون مشغول تدریس هستند. زمینه مورد علاقه ایشان پردازش سیگنال، مخابرات بی‌سیم و پردازش تصویر است.

نشانی رایانامه ایشان عبارت است از:  
[jamshidi@shirazu.ac.ir](mailto:jamshidi@shirazu.ac.ir)

**مهران یزدی** مدرک کارشناسی را در رشته مخابرات از گروه مهندسی برق و الکترونیک دانشگاه شیراز در سال ۱۳۶۹ و مدارک کارشناسی ارشد و دکترا را در رشته مخابرات سیستم از گروه مهندسی برق

دانشگاه لوال شهر کبک کشور کانادا بهترتبی در سال‌های ۱۳۷۴ و ۱۳۸۱ دریافت کرد. ایشان در ادامه دوره فوق دکترا را در گرایش مهندسی پزشکی به مدت دو سال در دانشگاه کبک در شهر کبک کشور کانادا به اتمام رسانید. در حال

